

$^{112}\text{Cd}(\text{p},\text{p}'\gamma)$  1992Ku01

Type	Author	History	Citation	Literature Cutoff Date
Full Evaluation	S. Lalkovski, F. G. Kondev		NDS 124, 157 (2015)	1-Aug-2014

1992Ku01: Beam: E(p)=7-9 MeV; Target: 1-2 mg/cm<sup>2</sup> enriched to 96% in  $^{112}\text{Cd}$ ; Detectors: one 19% Ge, four Si(Li), magnetic lens; Measured: P- $\gamma$  coinc.,  $I_\gamma$ ,  $E_\gamma$ ; Deduced:  $^{112}\text{Cd}$  level scheme,  $J^\pi$ ,  $\gamma$ -ray Mult.; Also, from the same collaboration: 1990KuZD, 1990KuZY, 1990KuZZ.

 $^{112}\text{Cd}$  Levels

E(level) <sup>†</sup>	$J^\pi$ <sup>‡</sup>	E(level) <sup>†</sup>	$J^\pi$ <sup>‡</sup>	E(level) <sup>†</sup>	$J^\pi$ <sup>‡</sup>	E(level) <sup>†</sup>	$J^\pi$ <sup>‡</sup>
0.0	0 <sup>+</sup>	1312.39 20	2 <sup>+</sup>	1468.71 20	2 <sup>+</sup>	2005.1 3	3 <sup>-</sup>
617.42 19	2 <sup>+</sup>	1415.37 25	4 <sup>+</sup>	1870.48 23	4 <sup>+</sup>	2064.3 3	3 <sup>+</sup>
1224.0 3	0 <sup>+</sup>	1433.3 3	0 <sup>+</sup>	1870.71 25	0 <sup>+</sup>	2081.51 24	4 <sup>+</sup>

<sup>†</sup> From a least-squares fit to  $E_\gamma$ .

<sup>‡</sup> From the Adopted Levels.

 $\gamma(^{112}\text{Cd})$ 

$E_\gamma$ <sup>†</sup>	$I_\gamma$ <sup>†</sup>	$E_i(\text{level})$	$J_i^\pi$	$E_f$	$J_f^\pi$	$E_\gamma$ <sup>†</sup>	$I_\gamma$ <sup>†</sup>	$E_i(\text{level})$	$J_i^\pi$	$E_f$	$J_f^\pi$
121.0 3	2.5 4	1433.3	0 <sup>+</sup>	1312.39	2 <sup>+</sup>	692.7 3	11 2	2005.1	3 <sup>-</sup>	1312.39	2 <sup>+</sup>
211.0 3		2081.51	4 <sup>+</sup>	1870.48	4 <sup>+</sup>	694.8 3	24 4	1312.39	2 <sup>+</sup>	617.42	2 <sup>+</sup>
244.8 3	<0.4	1468.71	2 <sup>+</sup>	1224.0	0 <sup>+</sup>	751.8 3	1.6 2	2064.3	3 <sup>+</sup>	1312.39	2 <sup>+</sup>
401.9 3		1870.48	4 <sup>+</sup>	1468.71	2 <sup>+</sup>	769.3 3		2081.51	4 <sup>+</sup>	1312.39	2 <sup>+</sup>
402.0 3	<0.2	1870.71	0 <sup>+</sup>	1468.71	2 <sup>+</sup>	797.9 3	17 3	1415.37	4 <sup>+</sup>	617.42	2 <sup>+</sup>
455.1 3		1870.48	4 <sup>+</sup>	1415.37	4 <sup>+</sup>	815.8 3	4.1 6	1433.3	0 <sup>+</sup>	617.42	2 <sup>+</sup>
558.0 3		1870.48	4 <sup>+</sup>	1312.39	2 <sup>+</sup>	851.2 3	8.0 12	1468.71	2 <sup>+</sup>	617.42	2 <sup>+</sup>
558.0 3	<0.3	1870.71	0 <sup>+</sup>	1312.39	2 <sup>+</sup>	1253.0 3		1870.48	4 <sup>+</sup>	617.42	2 <sup>+</sup>
606.7 3	12 2	1224.0	0 <sup>+</sup>	617.42	2 <sup>+</sup>	1253.6 3	4.9 7	1870.71	0 <sup>+</sup>	617.42	2 <sup>+</sup>
612.8 3		2081.51	4 <sup>+</sup>	1468.71	2 <sup>+</sup>	1312.3 3	7.8 12	1312.39	2 <sup>+</sup>	0.0	0 <sup>+</sup>
617.4 3	1000	617.42	2 <sup>+</sup>	0.0	0 <sup>+</sup>	1387.7 3	18 3	2005.1	3 <sup>-</sup>	617.42	2 <sup>+</sup>
649.0 3		2064.3	3 <sup>+</sup>	1415.37	4 <sup>+</sup>	1446.8 3	1.3 2	2064.3	3 <sup>+</sup>	617.42	2 <sup>+</sup>
666.0 3	<0.7	2081.51	4 <sup>+</sup>	1415.37	4 <sup>+</sup>	1468.8 3	3.8 6	1468.71	2 <sup>+</sup>	0.0	0 <sup>+</sup>

<sup>†</sup> From 1992Ku01.

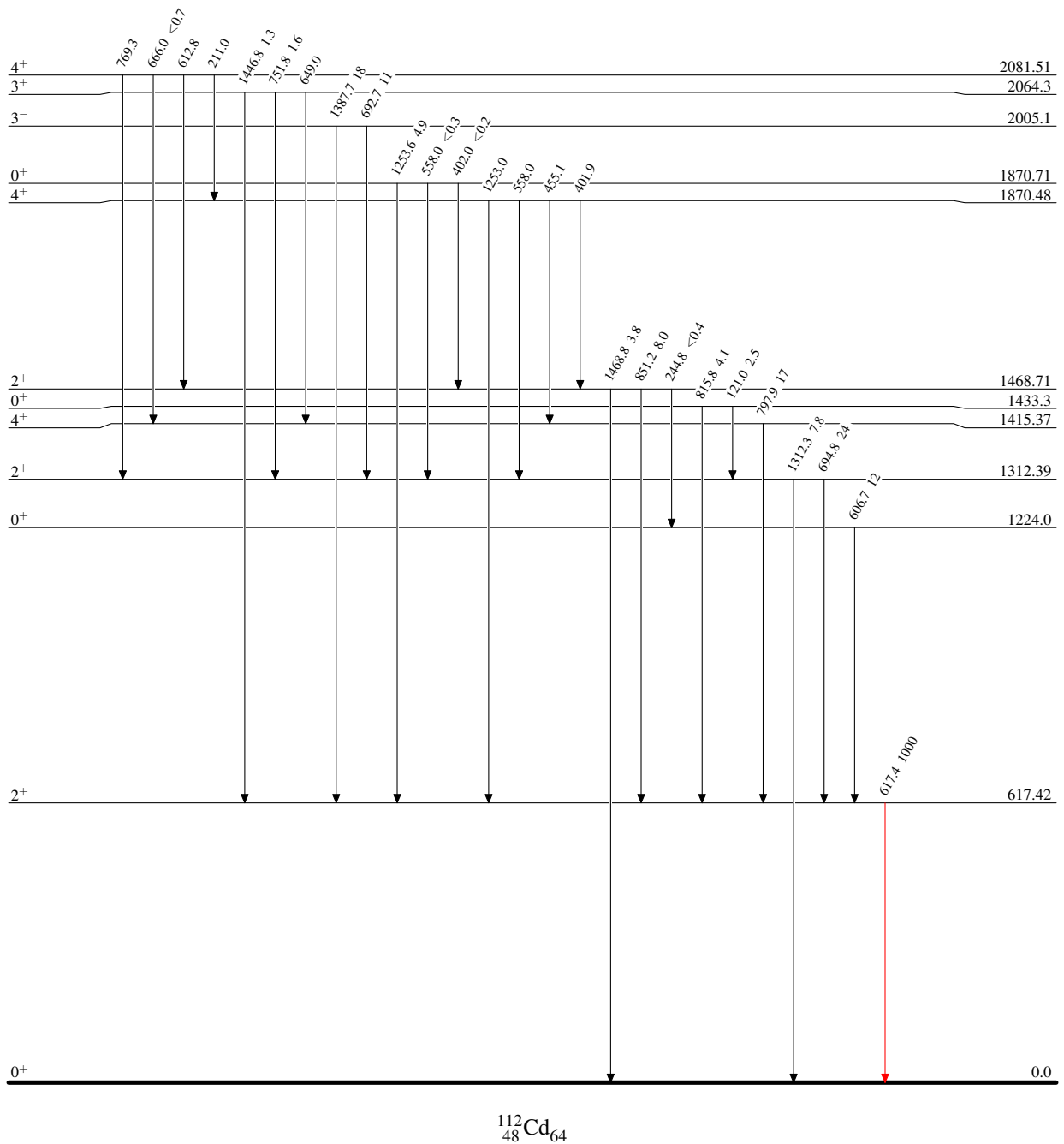
$^{112}\text{Cd}(p,p'\gamma)$  1992Ku01

## Level Scheme

Intensities: Type not specified

## Legend

- $I_\gamma < 2\% \times I_\gamma^{\max}$
- $I_\gamma < 10\% \times I_\gamma^{\max}$
- $I_\gamma > 10\% \times I_\gamma^{\max}$

 $^{112}_{48}\text{Cd}_{64}$